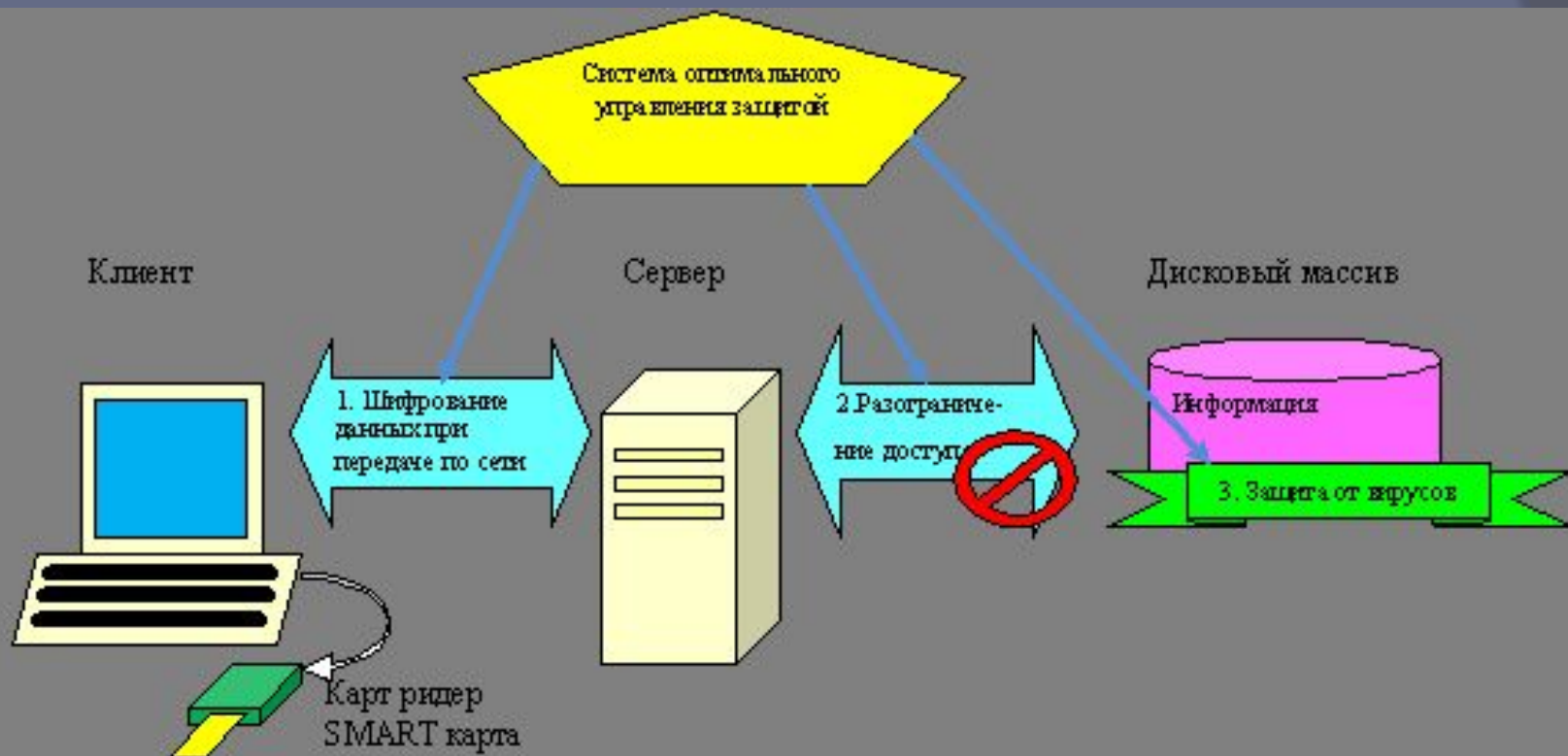


# ВВЕДЕНИЕ В СПЕЦИАЛЬНОСТЬ

Направление: Автоматизированные системы  
обработки информации и управления

Лекция 3 Борьба с несанкционированным доступом  
и вирусами

# Три ступени защиты информации



**Часть 1**

**Борьба с  
вирусами**

# Уровни и средства антивирусной защиты

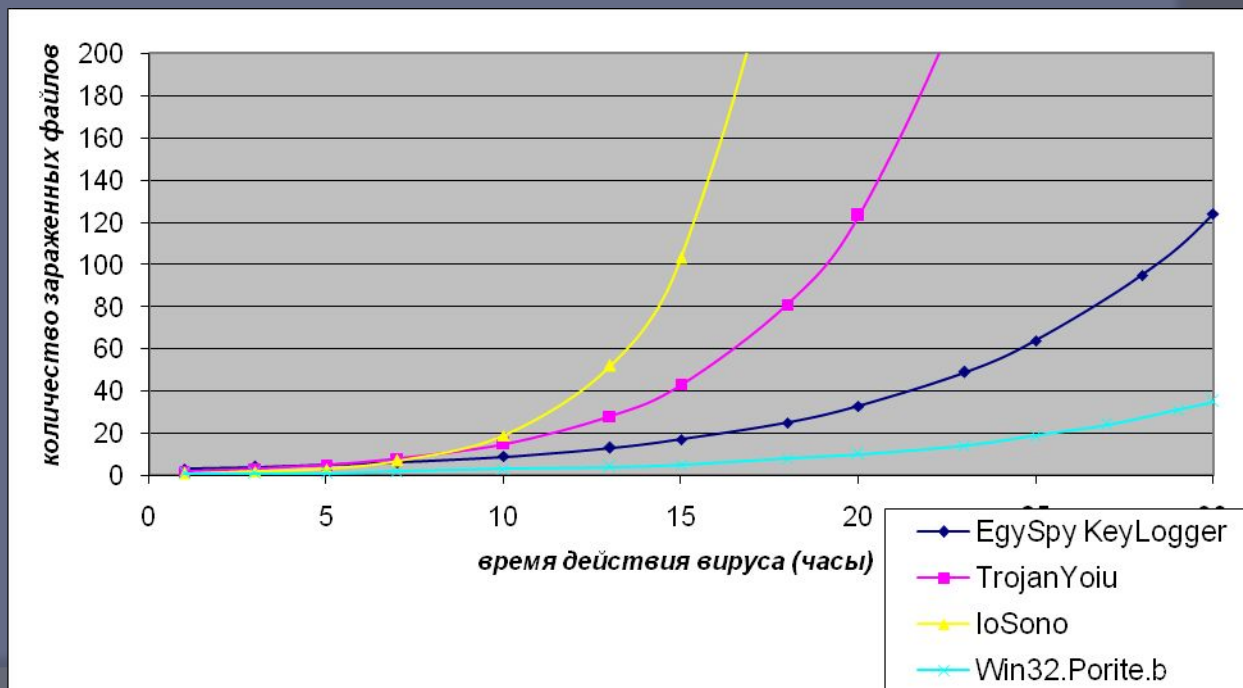


# Результаты имитационного моделирования

- Экспериментальный анализ поведения поражающих программ состоит из двух частей.
- Первый этап экспериментов проводился для нескольких видов вредоносных программ при их единичном, изолированном воздействии на операционную систему.
- Вторым этапом экспериментов выполнялся для нескольких видов различных вредоносных программ при их совместном, комбинированном воздействии на систему.

# Анализ одиночного воздействия определенного вируса

- Обобщив результаты проведенных на первой этапе эксперимента исследований, можно сказать, что общим для всех вирусов является экспоненциальный характер роста числа зараженных файлов, имеющих на виртуальном жестком диске, с течением времени воздействия (активности) той или иной вредоносной программы.



# Эффективная борьба с вирусами

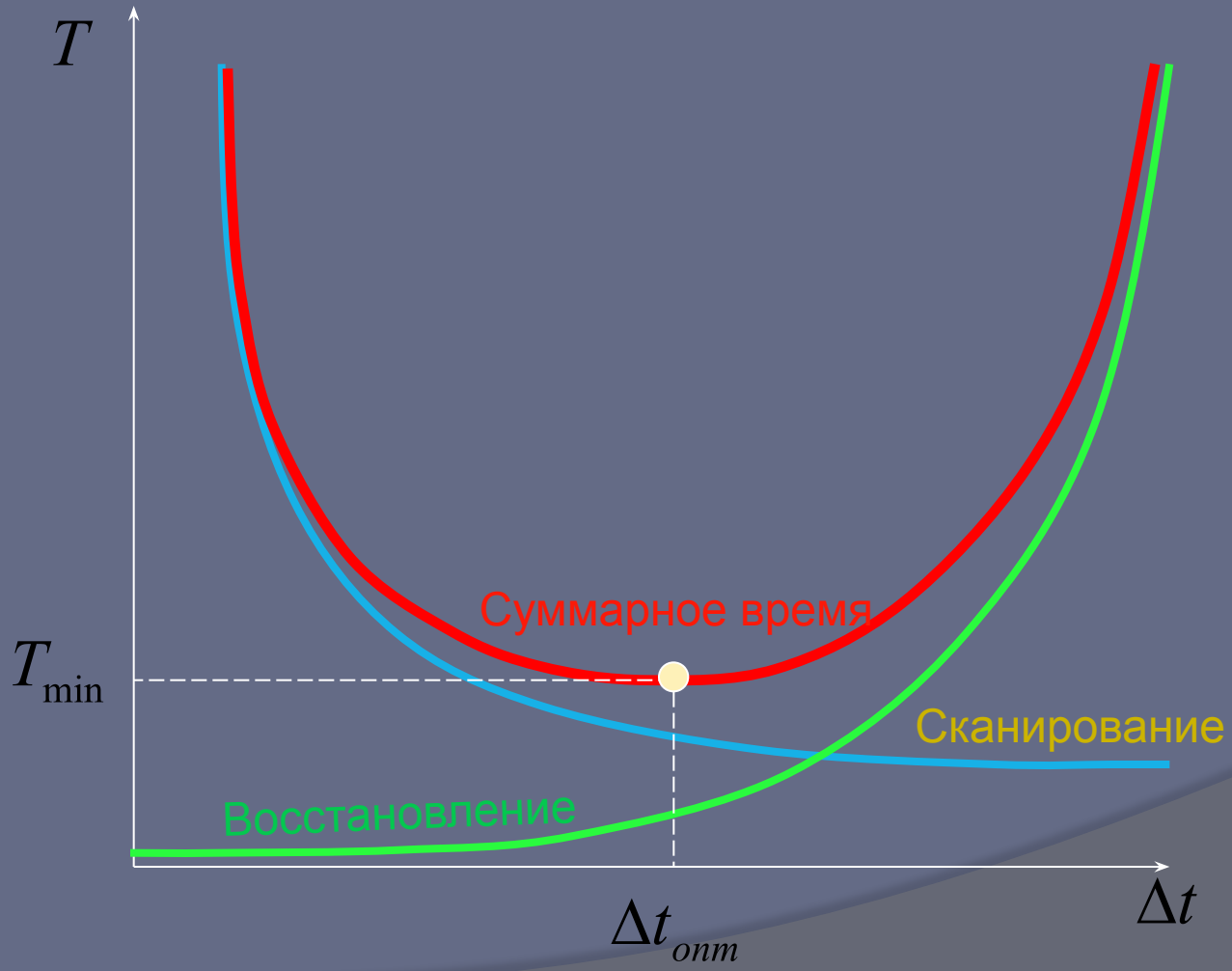
- Работа любого антивирусного сканера определяется тремя функциями:
  1. Сканирование памяти компьютера на предмет поиска вирусов и запорченных данных.
  2. Блокада либо уничтожение вирусов.
  3. Восстановление запорченной информации.

# Количественные зависимости

- Затраты времени  $T_1$  на сканирование памяти компьютера прямо пропорциональны частоте запуска сканера  $f$ :  $T_1 = a \cdot f$ , где «а» – коэффициент.
- Затраты времени  $T_2$  на восстановление запорченных файлов в первом приближении обратно пропорциональны частоте запуска сканера:  $T_2 = b/f$ .



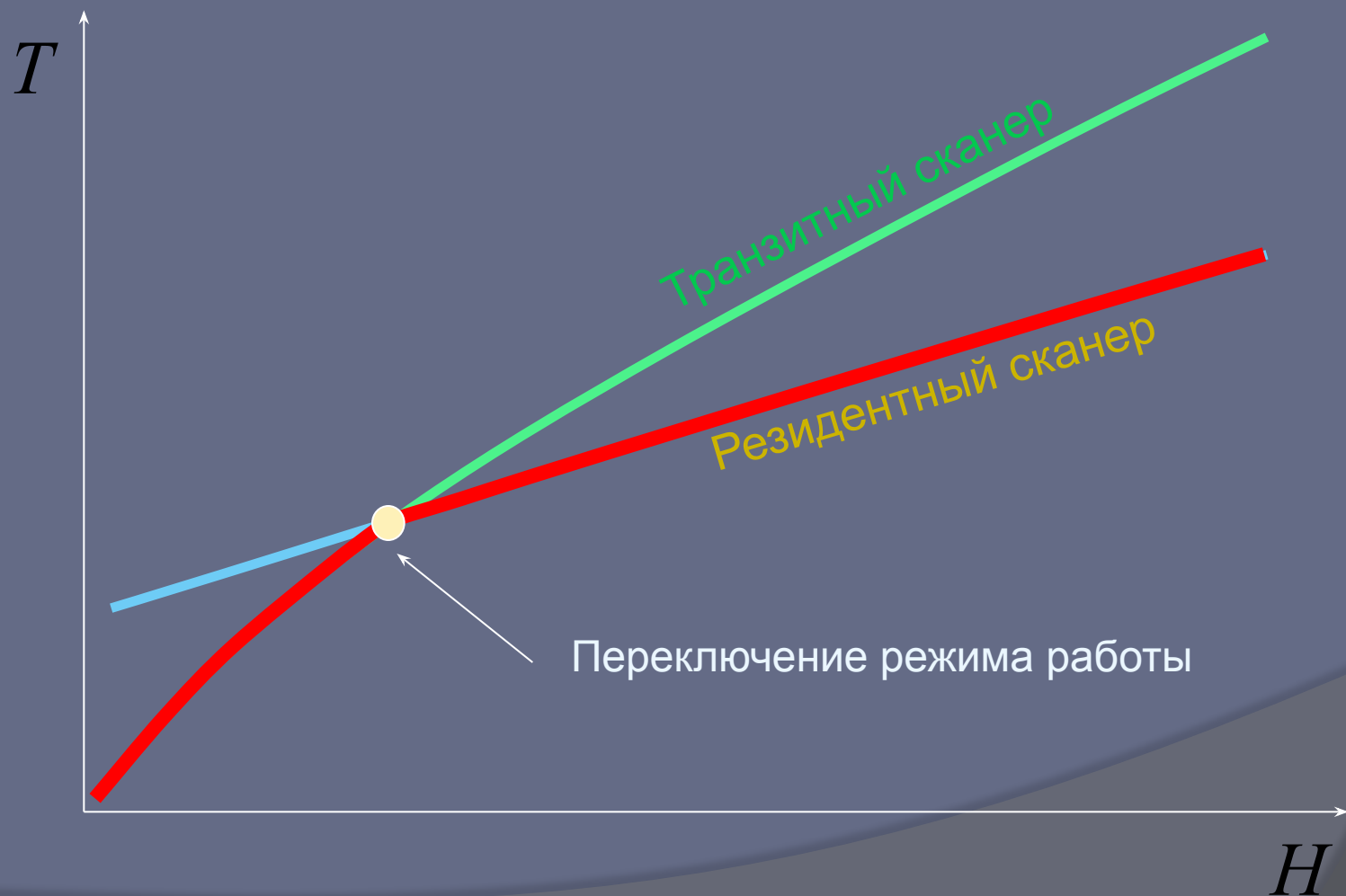
# Зависимость объема потребленных ресурсов (время $T$ ) от интервала времени между запусками транзитного сканера $\Delta t$



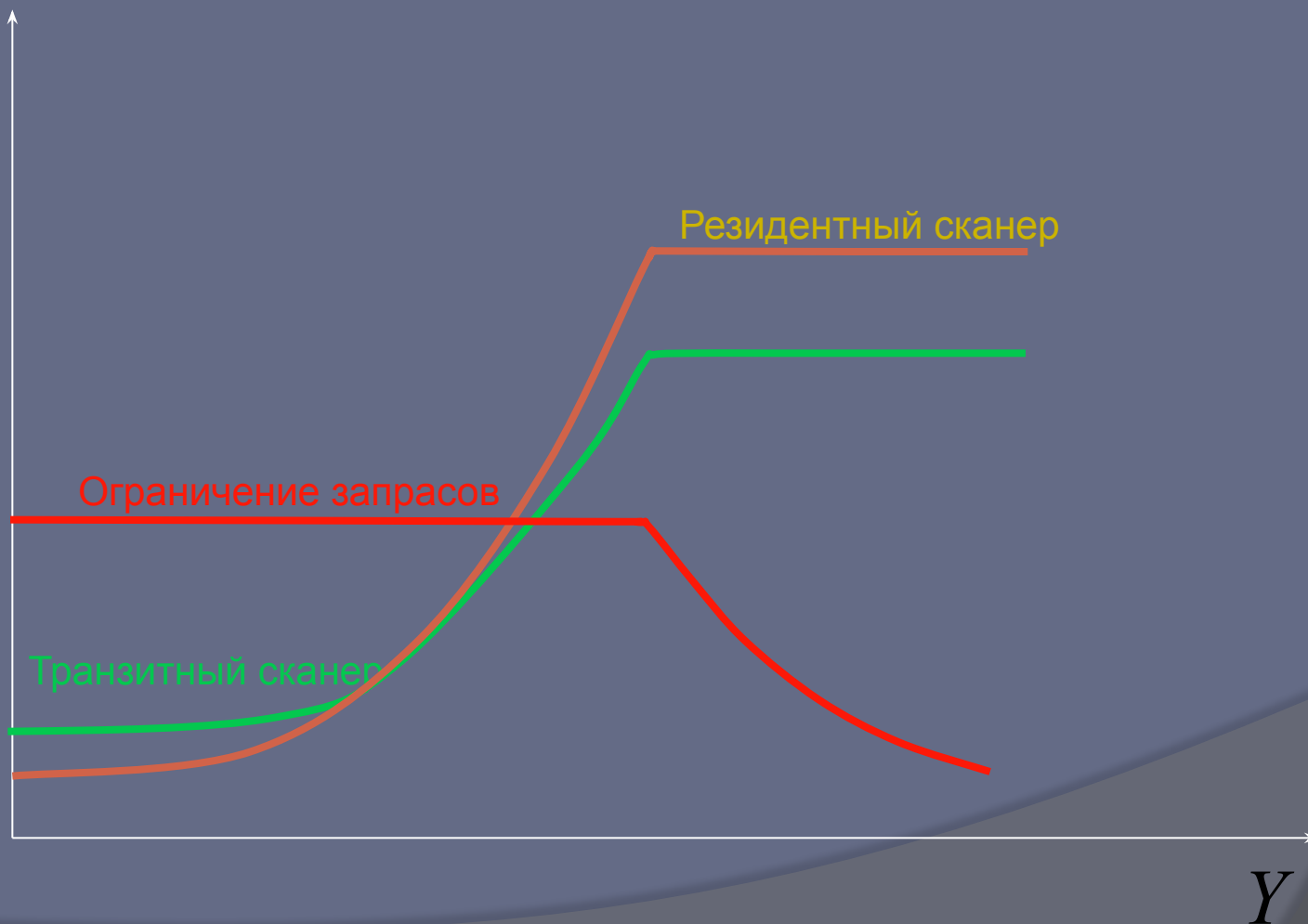
## Задачи, решаемые пакетом *“Smart Protection”*:

1. Определение характеристик системы:
  - интенсивность проникновения вирусов в систему
  - интенсивность обработки файлов в системе (запуск на выполнение)
2. Определение количества зараженных файлов в системе на момент следующего сканирования.
3. Определение интервала между сканированиями, минимизирующего потребление ресурсов ЭВМ.
4. Выбор типа используемого сканера (транзитный или резидентный), минимизирующего потребление ресурсов.
5. Защита от перегрузок.

# Зависимость потребления ресурсов сервера $T$ от интенсивности вирусных атак $H$



# Зависимость потребления ресурсов и ограничения трафика пакетом “Smart Protection” от интенсивности работы пользователей $Y$ в режиме перегрузки



# Пример 2

- Содержательная постановка задачи: требуется определить оптимальную частоту запуска антивирусного сканера, минимизирующую затраты на борьбу с вирусами.
- Формальная постановка задачи:  
$$T = T_1 + T_2 \rightarrow \min,$$
или:  $a \cdot f + b/f \rightarrow \min.$

# Экспериментальные данные

- Экспериментальные данные:

F (Гц)	T (сек)
1	27
3	11
5	3
8	6
10	18

- Предлагаемое решение:  $f = 5$ ;  $T = 3$ .

# Алгоритм поиска оптимальной частоты запуска сканера

Шаг 1. Ввод экспериментальных данных.

Шаг 2. Поиск аналитической зависимости  $T(f)$  методом наименьших квадратов.

Шаг 3. Численное решение уравнения  $dT/df = 0$ .

Шаг 4. Конец алгоритма.

# Решение примера 2

f	T
1	27
3	11
5	3
8	6
10	18

Уравнение  $T(f)$  имеет вид:

$$T = f^2 - 12f + 38.$$

Оптимальное значение  $f$  равно шести.

Минимальные затраты времени на антивирусную защиту равны двум.

Величина выигрыша  $\eta = 1,5$ .



# Самостоятельно

- Пользуясь описанным выше алгоритмом, определить оптимальную частоту запуска антивирусного сканера и выигрыш, если экспериментальные данные представлены таблицей:

f	T
1	15
3	13
5	17,4
12	37

# Аналитический вид зависимости $T(f)$

- ◎  $T_1 = 3f.$
- ◎  $T_2 = 12/f$
- ◎  $T = T_1 + T_2.$

# Часть 2

**Борьба с  
несанкционированным  
доступом с помощью  
смарт - карт**

# Смарт-карта

- Смарт-карта, используемая в системе здравоохранения Франции



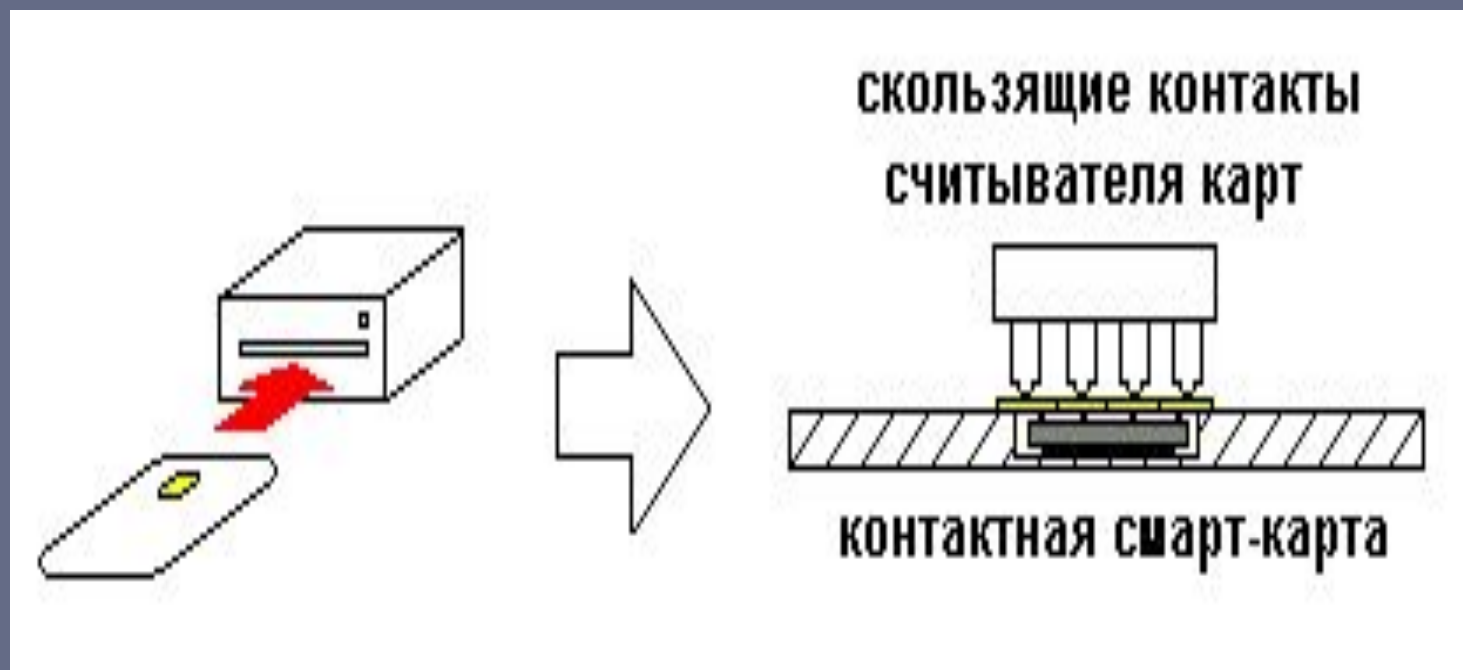
# Устройство смарт-карты

Автоматизированная карта со встроенным чипом была изобретена немецким инженером [Гельмутом Греттрупом](#) и его коллегой Юргеном Деслофом в 1968 году; патент был окончательно утверждён в 1982 году.



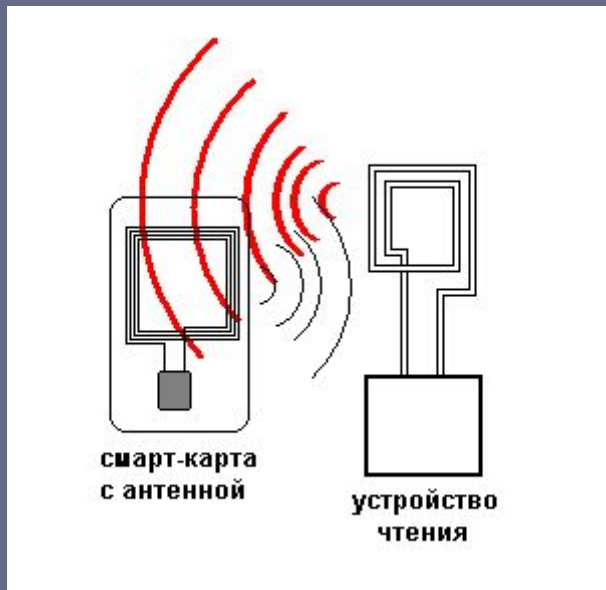
# Контактные смарт-карты

Смарт-карта и контактное устройство ввода



# Бесконтактные карты

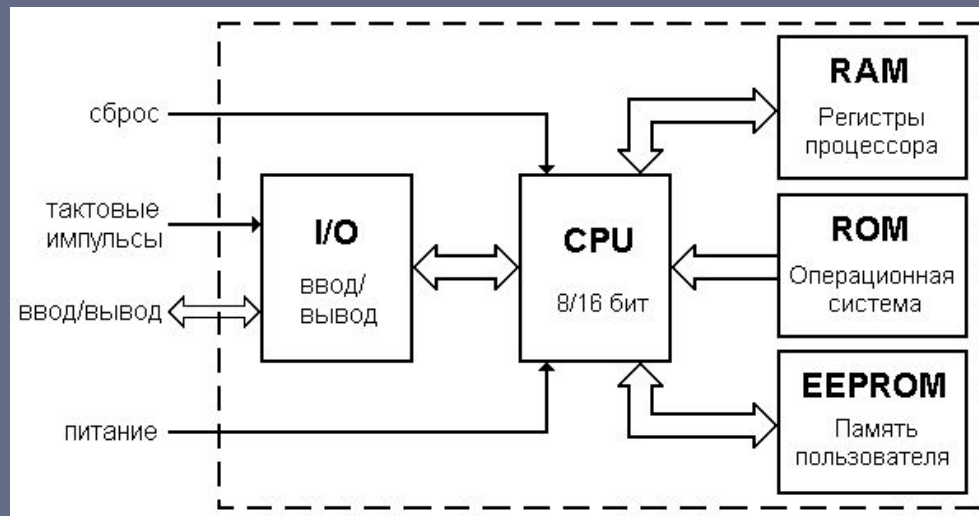
## Смарт-карта и бесконтактное устройство ввода



Для работы антенны карты такого типа могут иметь собственный элемент питания, а могут и работать за счет считывателя, в этом случае антенна карты выполняется в виде катушки индуктивности, которая начинает вырабатывать электрический ток находясь в сильном электромагнитном поле считывателя

# Упрощенная структура микропроцессорной смарт карты

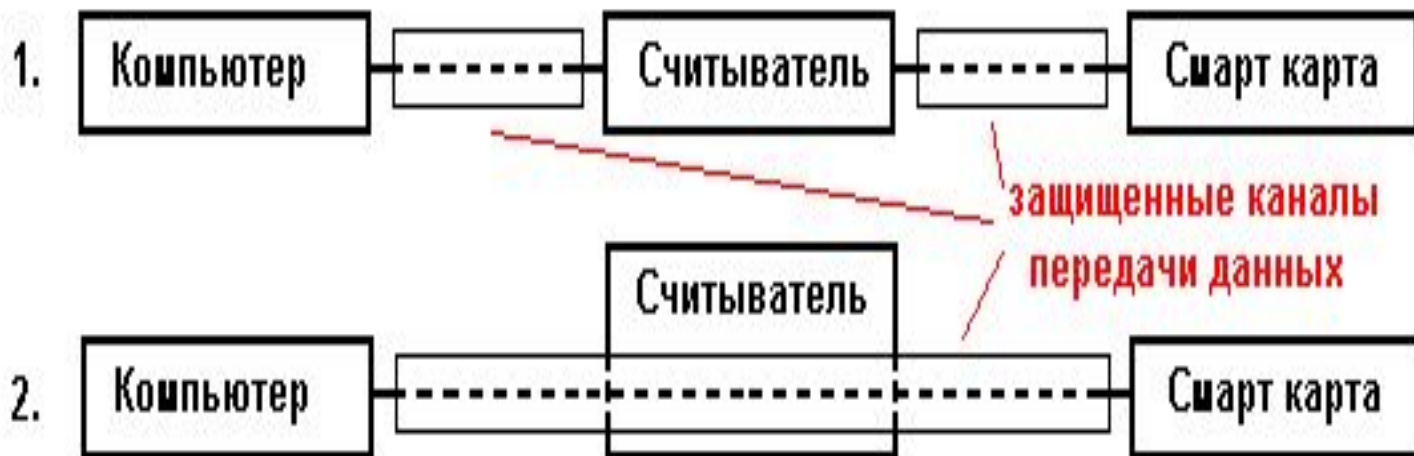
- В смарт-карте есть все основные компоненты компьютера: память различного типа, процессор и система ввода вывода:





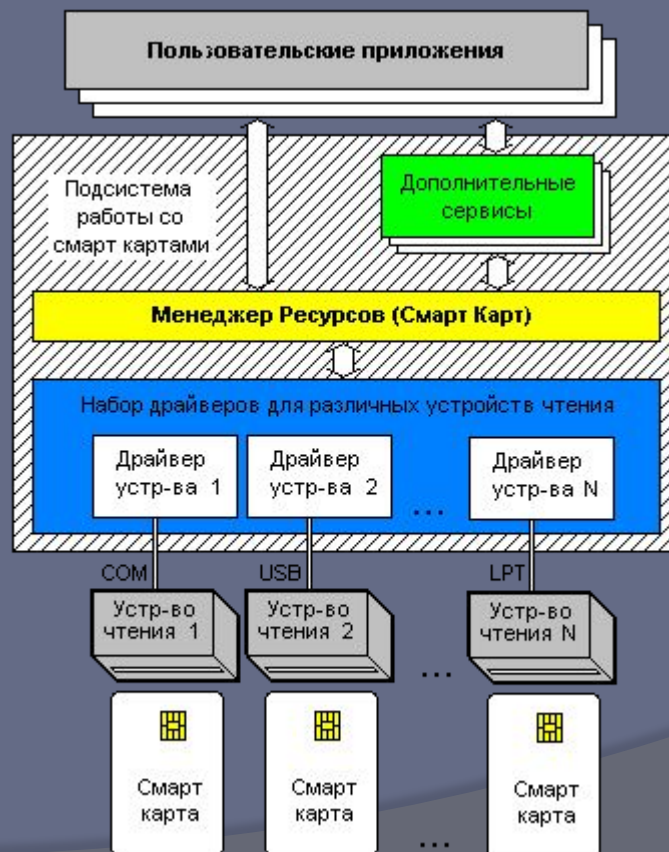
# Схема защиты канала связи смарт-карты с компьютером

В процессе передачи или приема данные могут быть прослушаны или подменены, в связи с этим работа карты со считывателем происходит только после процесса взаимной аутентификации и с помощью специальных временных ключей.

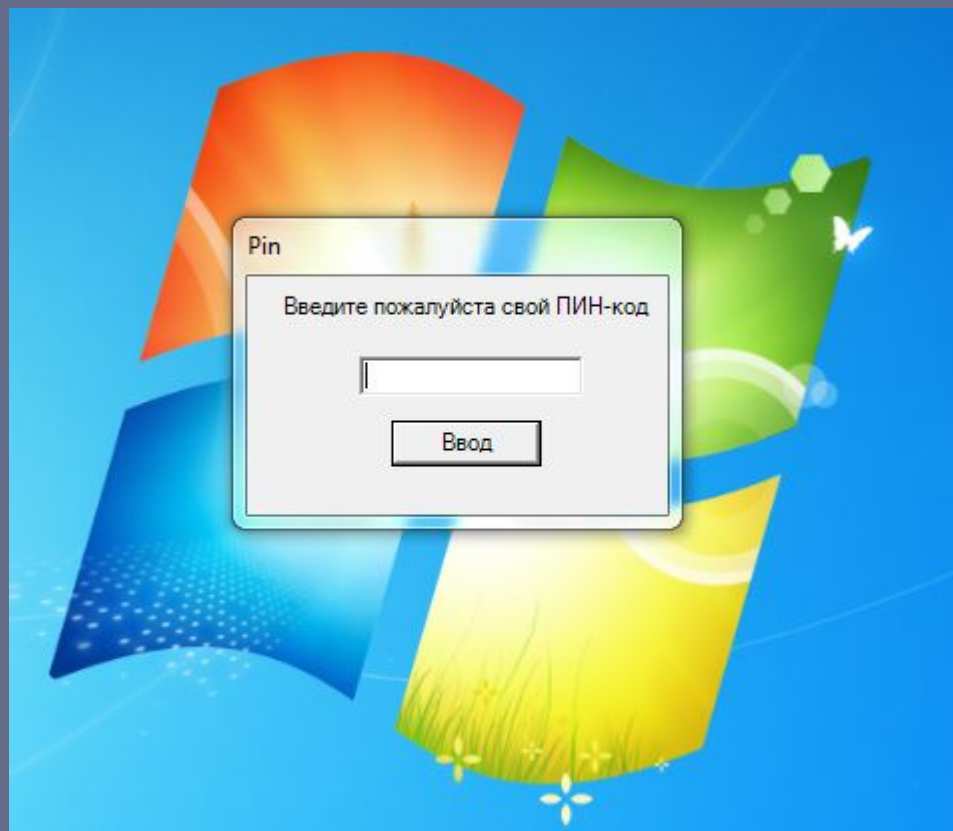


# Архитектура интерфейса PC/SC

- Используемая в СКГМИ (ГТУ) архитектура



# Окно ввода ПИН-кода



# Ресурсы АСУ-СКГМИ, защищаемые комплексом «Цербер»

- Список доступных ресурсов

